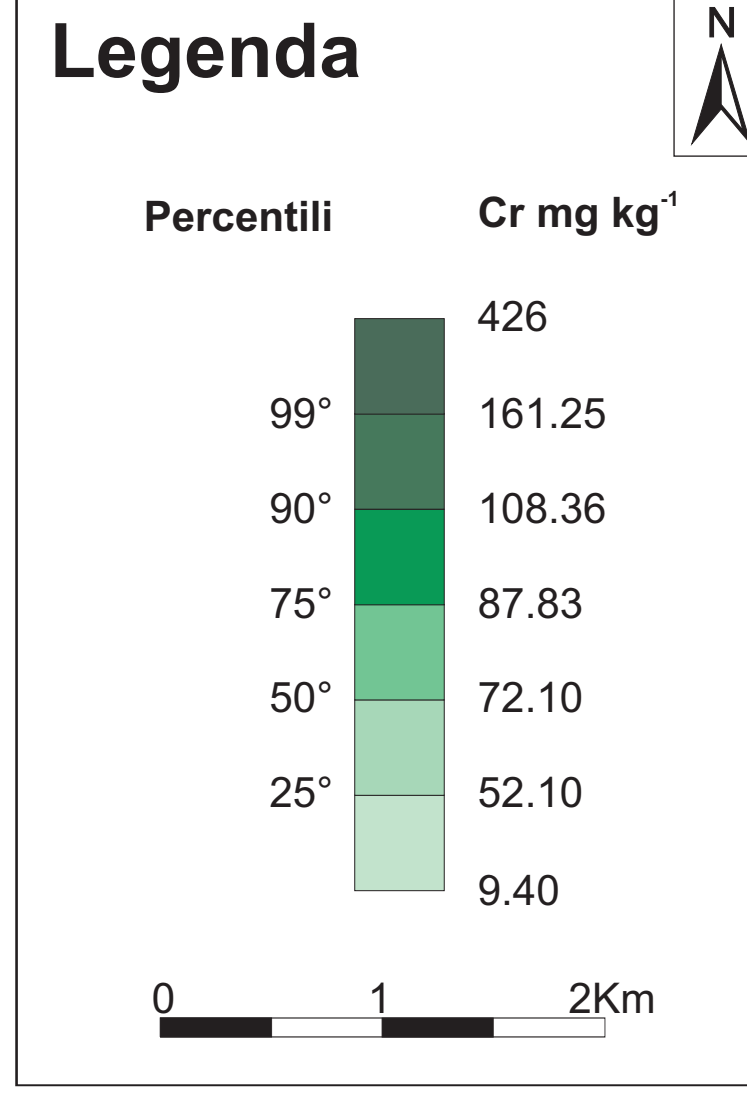
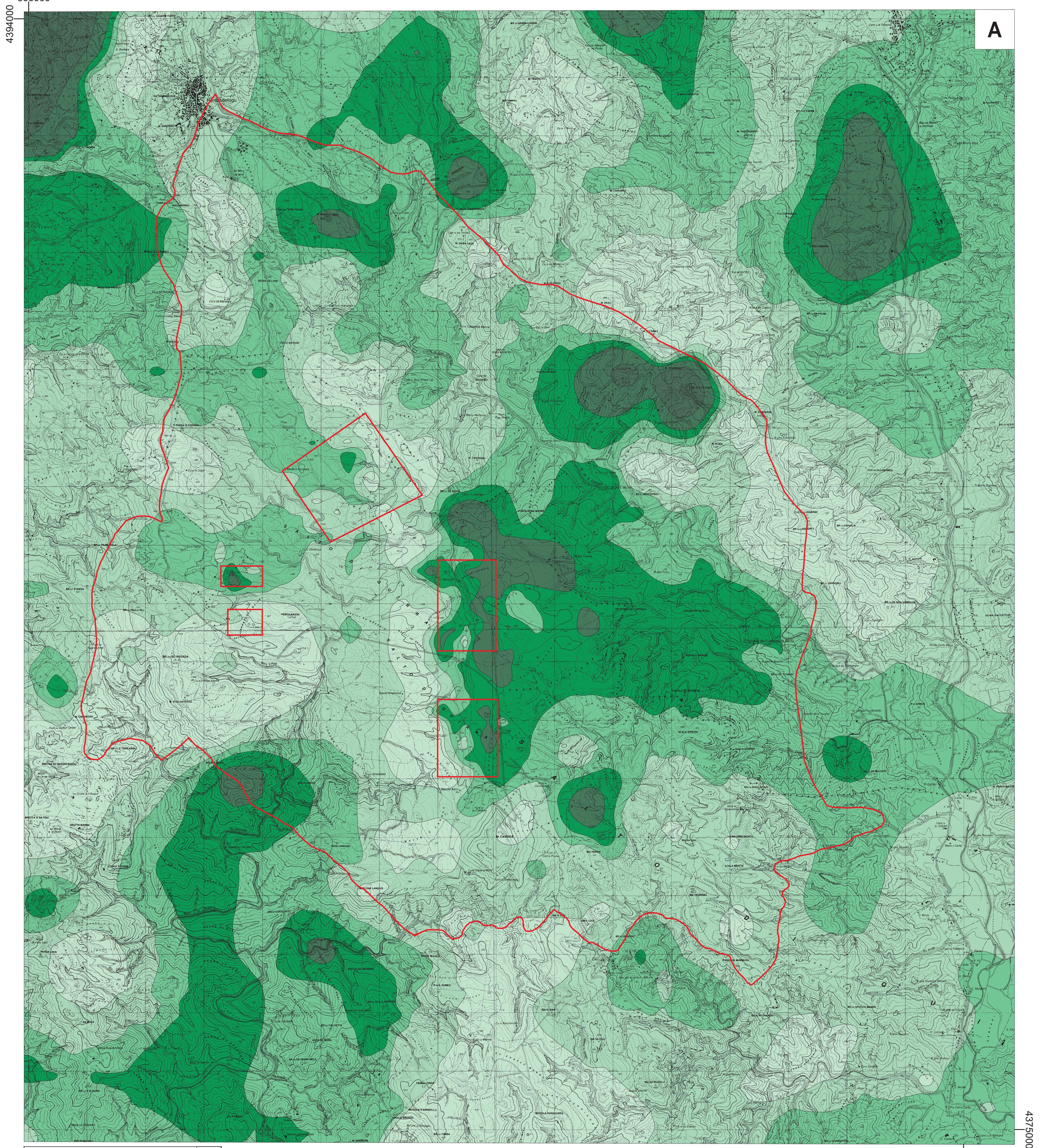
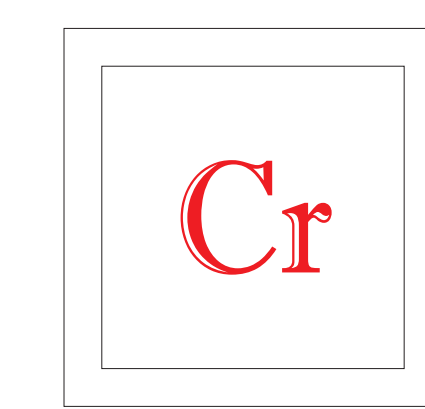


CARTA DELLA DISTRIBUZIONE DEL CROMO NEI SUOLI DELL'AREA DEI POLIGONI MILITARI DI SALTO DI QUIRRA (Sardegna Sud Orientale)



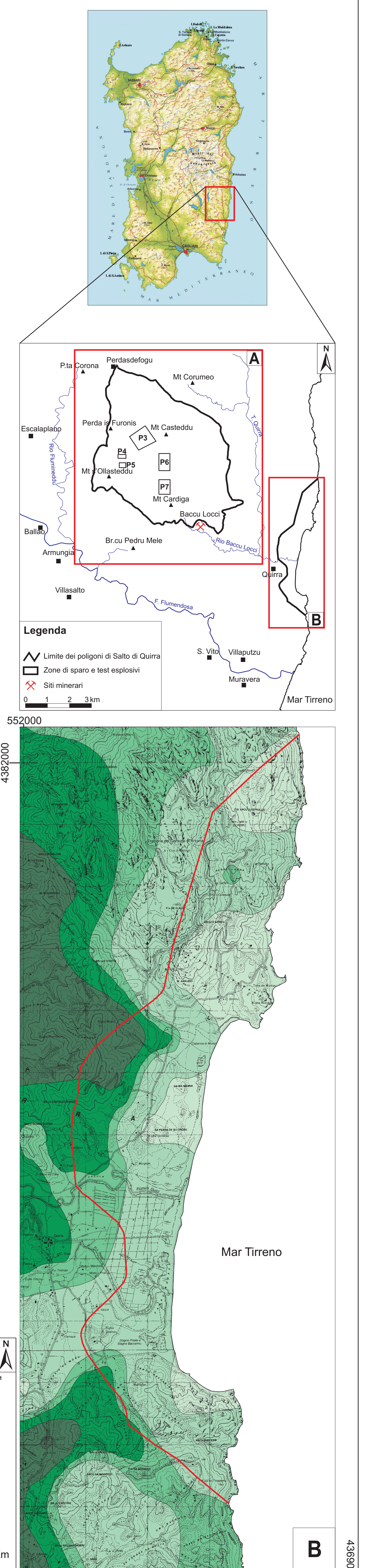
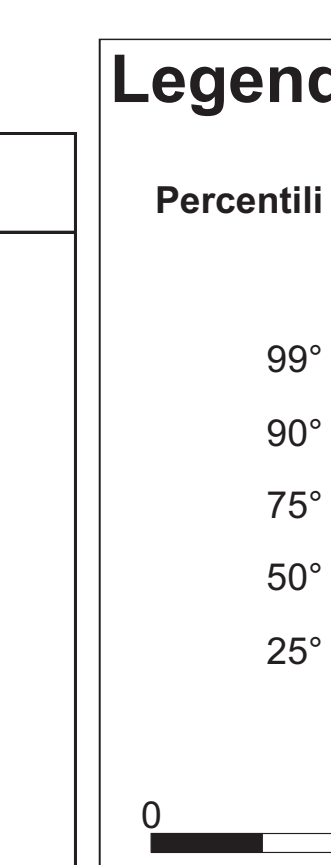
POLIGONO DI PERDASDEFOGU
indici statistici percentili

N° di dati	5%	28.11
media	73.23	36.91
mediana	72.10	25° 52.10
min	9.40	40° 53.98
max	426	50° 72.10
dev. stand.	35.37	60° 31.58
lower quartile	52.10	75° 84.37
upper quartile	87.83	80° 87.83
skewness	3.39	90° 108.36
curtosi	28.45	95° 124.99
(dati in mg kg ⁻¹)		99° 146.85



POLIGONO MARE
indici statistici percentili

N° di dati	5%	12.82
media	58.39	10° 15.70
mediana	64.80	20° 22.02
min	139.50	25° 25.70
max	139.50	50° 54.60
dev. stand.	33.77	60° 72.62
lower quartile	25.70	70° 76.40
upper quartile	76.40	80° 85.92
skewness	0.34	90° 117.92
curtosi	-0.52	95° 140.40
(dati in mg kg ⁻¹)		99° 138.04



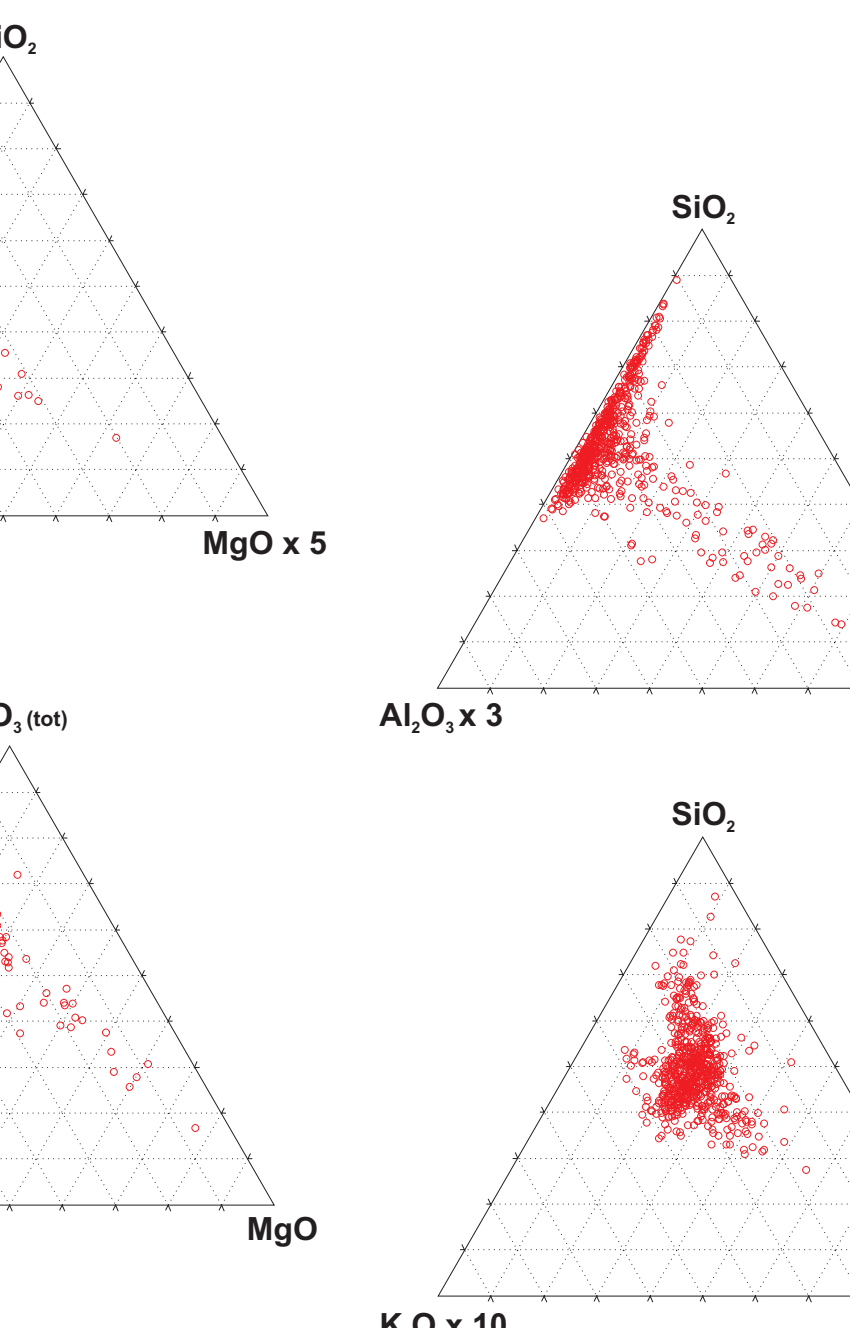
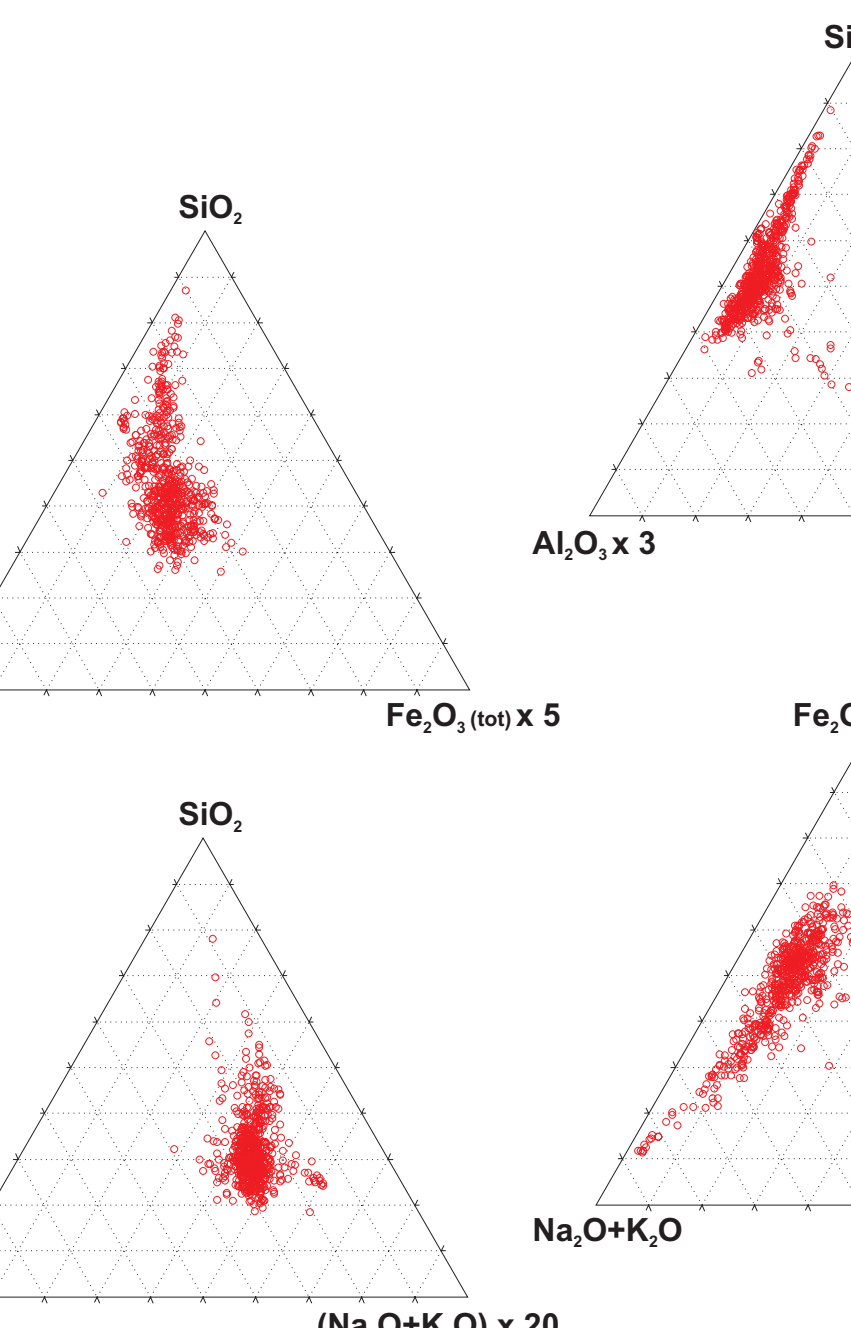
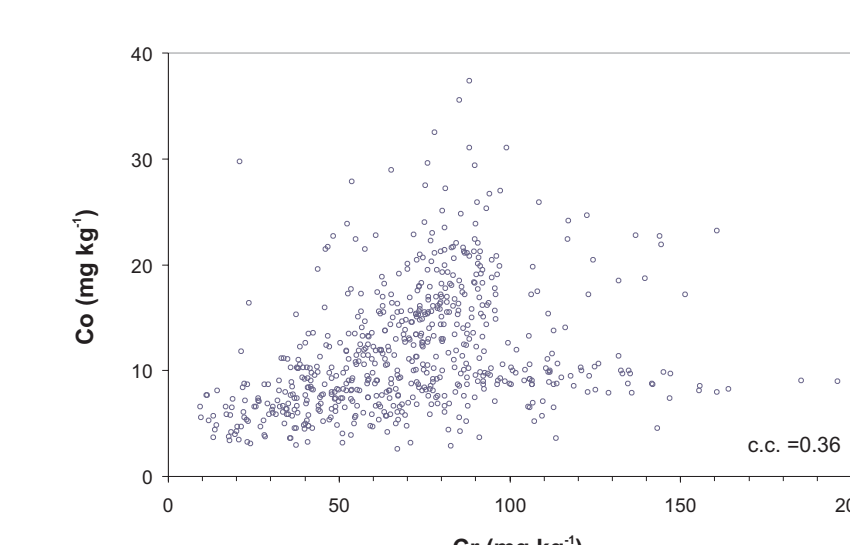
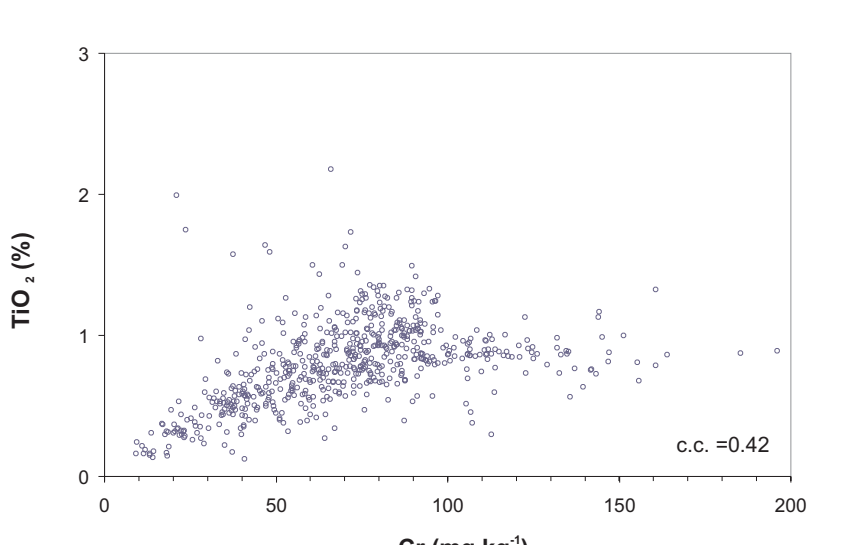
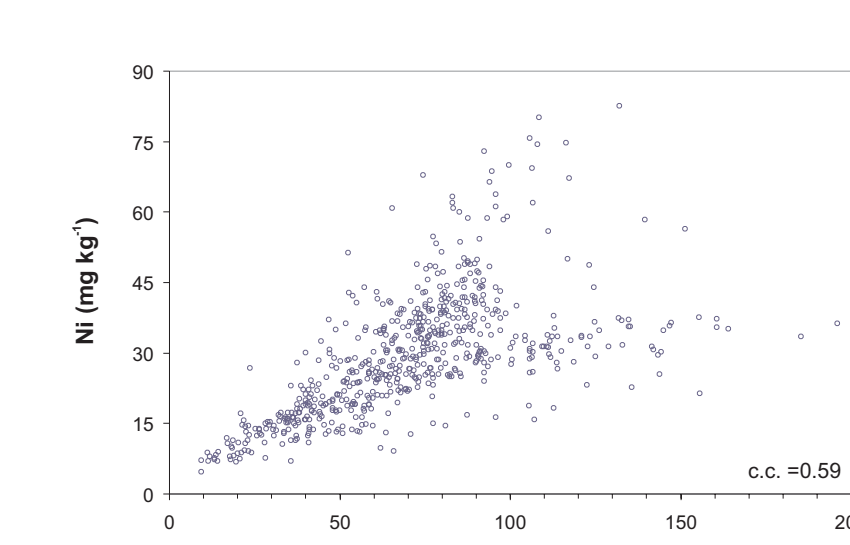
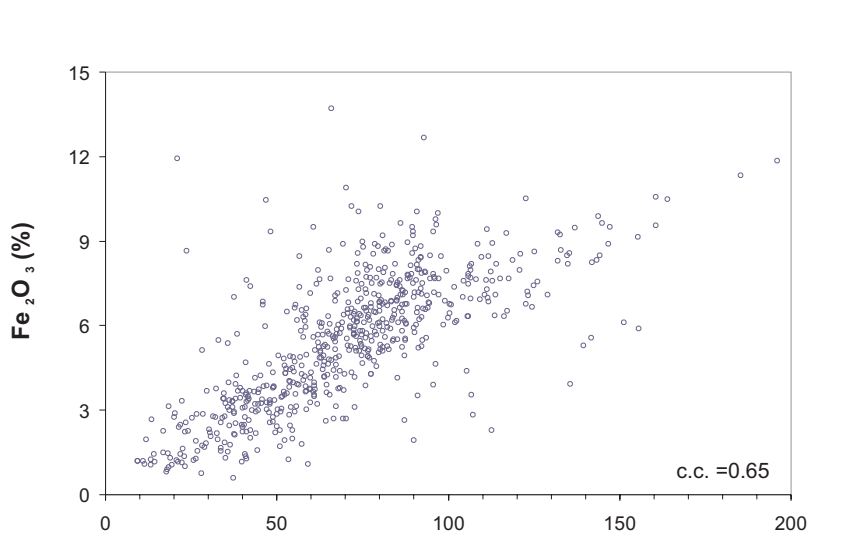
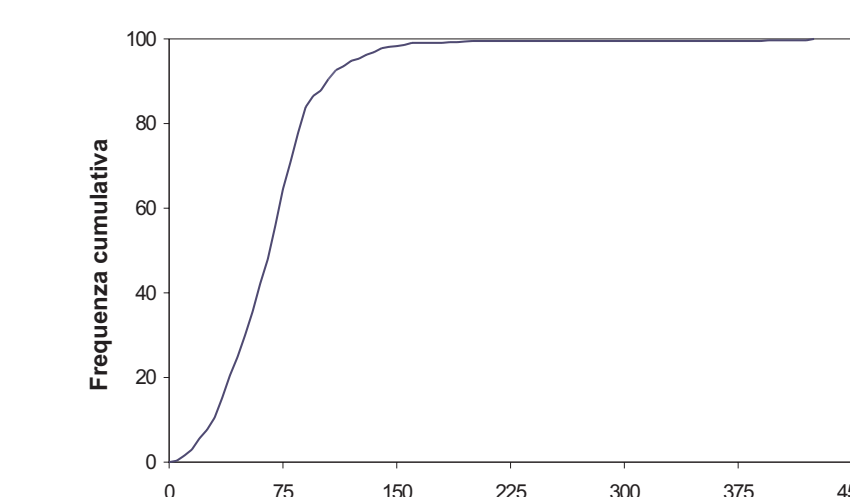
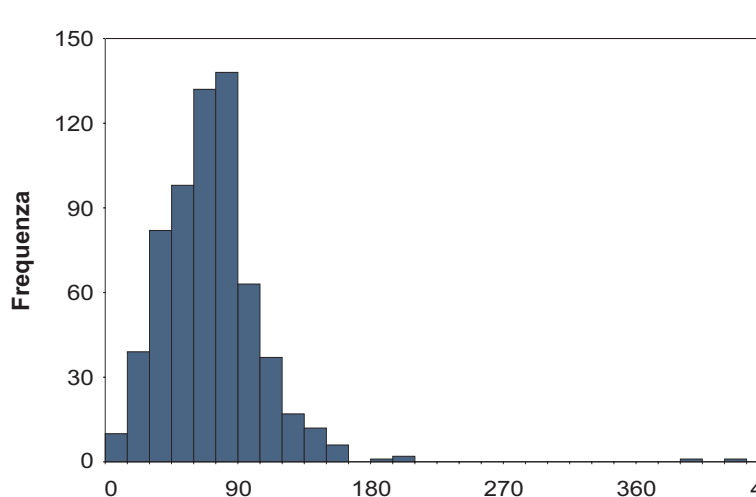
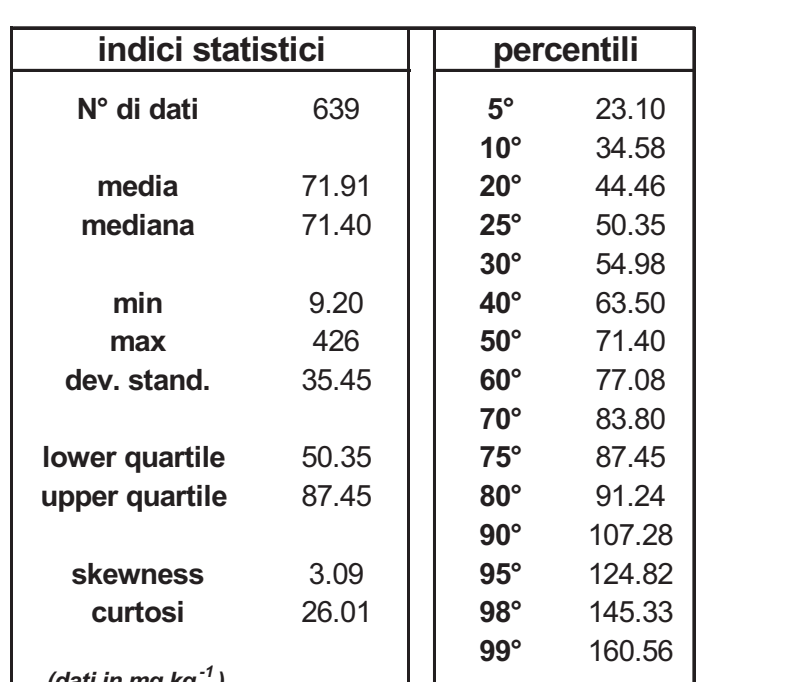
B

Statistica dei dati dell'area del Salto di Quirra

indici statistici

N° di dati	5°	23.10
media	71.91	10° 34.58
mediana	71.40	20° 44.46
min	9.20	25° 50.35
max	426	30° 54.98
dev. stand.	35.45	40° 63.50
lower quartile	50.35	50° 71.40
upper quartile	67.45	60° 77.08
skewness	3.09	70° 83.80
curtosi	26.01	75° 87.42
(dati in mg kg ⁻¹)		90° 91.24
		95° 107.28
		98° 124.82
		99° 145.33
		160.56

percentili



K₂O x 10

Proprietà dell'elemento^(a)

simbolo	Cr
gruppo	VIA
numero atomico	24
peso atomico	51.99
densità (g cm ⁻³)	7.14
punto di ebollizione (°C)	2690
punto di fusione (°C)	1900
eletronegatività (ev)	1.6
stati di ossidazione	+2 +3 +6
isotopi stabili	⁵⁰ Cr (4.34%) - ⁵² Cr (83.79%) - ⁵³ Cr (9.50%) - ⁵⁴ Cr (2.36%)

Principali fasi mineralogiche portatrici

cromite
crocoite

Contenuti in natura

abbondanza cosmica (normalizzata a 10⁶ atomi di Si)^(b)

abbondanza crustale^(c)

rocce magmatiche^(d)

rocce ultramafiche

rocce ferroiche (basalti)

rocce intermedie (sieniti)

rocce eucristalline (graniti)

rocce sedimentarie

argille ed argilliti

arenarie

calcari

suoli

arie incontaminate

Finnland^(e) Mondo^(f)

acque superficiali

acque oceaniche^(g)

acque fluviali

non inquinate^(h)

aria⁽ⁱ⁾

arie remote

arie inquinate

piante^(j)

grano (radici)

orzo (radici)

latuga (foglie)

uomo

sangue^(m)

urina⁽ⁿ⁾

0.09 - 0.75 g L⁻¹

0.04 - 5.1 g L⁻¹

Bibliografia

(a) Greenwood, E., Earnshaw, A. (1984). Chemistry of the Elements. Pergamon Press, Oxford: pp. 1542.

(b) Anders, E., Ebihara, M. (1985). Solar-system abundances of the elements. Geochim. Cosmochim. Acta 49: 2363-2380.

(c) Taylor, S.R. (1964). Abundance of chemical elements in the continental crust: a new table. Geochim. Cosmochim. Acta 29: 1273-1285.

(d) Tuomi, T. (1997). Suomen petromagnetinen geokemiallinen kartasto hankkeen 33 alustavat tulokset. Geological Survey of Finland, Archival Report SI/2000/1/1997, pp. 63 (in Finnish).

(e) Tuomi, T. (1997). Suomen petromagnetinen geokemiallinen kartasto hankkeen 33 alustavat tulokset. Geological Survey of Finland, Archival Report SI/2000/1/1997, pp. 63 (in Finnish).

(f) Tuomi, T. (1997). Geokemia Suomea. Geokemiallinen kartasto hankkeen 33 alustavat tulokset. Geological Survey of Finland, Archival Report SI/2000/1/1997, pp. 63 (in Finnish).

(g) The Open University (1989). Seawater: Its Composition, Properties and Behavior. Pergamon Press, Oxford: pp. 218.

(h) Lide, D.R. (ed.) (1996). CRC Handbook of Chemistry and Physics. 77th edition, 1996-1997. CRC Press, Boca Raton, USA.

(i) Bowen, H.J.M. (1971). Environmental Chemistry of the Elements. Academic Press, London: pp. 333.

(j) Höglund, S. (1996). Trace Elements in Terrestrial Plants. Springer, Berlin: pp. 171.

(k) Minola, C., Sabioni, E., Apostoli, P., Pietri, R., Pozzoli, L., Gallotta, M., Nicotau, G., Aleixo, L., Capodaglio, E. (1990). Trace element reference values in tissues from inhabitants of the European Community. I. A study of 46 elements in urine, blood and serum of Italian subjects. The Science of the Total Environment, 95: 99 - 105.

(l) Fm. di Ussuna (Oligocene sup - Miocene inf)

(m) Fm. di M. Te Cardiga (Arcoze) (Eocene inf)

(n) Fm. M. Te Cardiga (Arenarie) (Eocene inf)

(o) Fm. di Ri Su Luda (Permiano inf)

(p) Andesi (Permiano inf)

(q) Tonaliti (Carbonifero sup - Permiano)

(r) Filoni idrotermali (Carbonifero sup - Permiano)

(s) Filoni Basicci (Carbonifero sup - Permiano)

(t) Porfidi Granitici (Carbonifero sup - Permiano)

(u) Leucograniti (Carbonifero sup - Permiano)

(v) Complesso di Pala Manna (Carbonifero inf)

(w) Scisti a Graptoliti (Siluriano - Devoniano medio)

(x) Complesso di Sa Litta (Marmi) (Siluriano - Carbonifero inf)

(y) Argilliosci di Rio Canetti (Ordoviciano sup)

(z) Metacorese di Genna Mese (Ordoviciano sup)

(aa) Metadolomiti (Ordoviciano sup)

(bb) Periferia Rioceddu (Ordoviciano medio)

(cc) Periferia di Sa Muzzuni (Ordoviciano medio)

(dd) Metaconglomerati di Muravera (Ordoviciano medio)

(ee) Arenarie di San Vito (Cambriano - Ordoviciano inf)

(ff) Faglia Sovrascorrente

(gg) Limite dei poligoni di Salto di Quirra

(hh) Zone di sparo e test esplosivi

(ii) Siti minerali

TAVOLA PERIODICA DEGLI ELEMENTI

Lineamenti tossicologici

</